

การเตรียมและการหาคุณลักษณะของสารพყงเชิงเร่งปฏิกิริยาแกมมาอะลูมินา

Preparation and Characterization of gamma – Alumina

Catalyst Support

วีระยุทธ ศรีชัยศิริเวช

ภาควิชาเคมี คณะวิทยาศาสตร์และเทคโนโลยี มหาวิทยาลัยธรรมศาสตร์ ศูนย์รังสิต ปทุมธานี 12121

Email-address: weerayut@alpha.tu.ac.th

บทคัดย่อ

ใช้อลูมินัมในteredเป็นสารตั้งต้น ในการเตรียมแกมมาอะลูมินา โดยละลายอะลูมินัมในteredในน้ำกลั่นก่อน ตกตะกอนให้อยู่ในรูปไฮดรอกไซด์ของอะลูมินัมด้วย 10% v/v NH_4OH โดยปรีค่า pH เป็น 4, 6 และ 8 แล้วทำการ ตรวจสอบโครงสร้างผลึกโดยเทคนิค X – ray diffraction พบร่วมที่ pH 8 ได้ตะกอนที่มีโครงสร้างเป็นโนร์โมห์เมที่ซึ่งเป็นสาร ที่สามารถเปลี่ยนรูปไปเป็นแกมมาอะลูมินาได้ เมื่อทำการแคลดไนต์ตะกอนในช่วงอุณหภูมิ 500 - 900°C พบร่วมที่อุณหภูมิ 500 - 700°C ให้โครงสร้างของแกมมาอะลูมินา ในขณะที่อุณหภูมิตั้งแต่ 800°C ขึ้นไป มีโครงสร้างผลึกอื่นผสมอยู่ด้วย นอกจากนี้เมื่อใช้อลูมินัมฟอยล์เป็นสารตั้งต้นแทนอะลูมินัมในteredพบว่าหลังจากถ่ายอะลูมินัมฟอยล์ใน 2 M HNO_3 แล้ว ทำการเตรียมแกมมาอะลูมินาวิธีเดียวกับอะลูมินัมในteredให้ผลเช่นเดียวกับการใช้อลูมินัมในtered เมื่อทำการวิเคราะห์ พื้นที่ผิวด้วยเทคนิค BET adsorption ของแกมมาอะลูมินาที่เตรียมได้ที่อุณหภูมิต่าง ๆ พบร่วมที่ผิวด้วยของแกมมาอะลูมินา ลดลงเมื่ออุณหภูมิเพิ่มขึ้นทั้งแกมมาอะลูมินาที่เตรียมจากอะลูมินัมในteredและอะลูมินัมฟอยล์

Abstract

Aluminum nitrate was used as a precursor for gamma alumina preparation. After dissolving aluminum nitrate in water, aluminum hydroxide was precipitated by adding 10% v/v NH_4OH solution at different pH values (4, 6 and 8). The XRD powder pattern shows that the boehmite structure was obtained at pH 8. After calcination between 500 - 900°C, it was found that when the temperature was higher than 800°C, delta crystalline structure was also found. When aluminum foils were used as precursor, similar results were obtained. Surface area of gamma alumina at different temperatures was determined by BETadsorption technique and the experiments showed that surface area decreased as temperature increased.

1. บทนำ

อะลูมินา (Alumina) เป็นของแข็งสีขาวมีร่องทาง เคมีว่าอะลูมินัมออกไซด์ (Aluminum oxide) และมีสูตร ทางเคมีเป็น Al_2O_3 มีความถ่วงจำเพาะ 3.4 – 4.0 จุด หลอมเหลว 2,054°C ความดันไอประมาณ 0.1 ปานascal

ความแข็งตามสเกลของมอร์ส (Mohs scale) เท่ากับ 9 (เพชรมีค่าความแข็งเท่ากับ 10) [1] ปัจจุบันมีการใช้ อะลูมินากันอย่างกว้างขวาง เช่น การเป็นตัวเร่งปฏิกิริยาที่ มีประสิทธิภาพสูง ใช้ในการเชร์มิกส์ เป็นตัวคูคูซับใน

column chromatography และใช้เป็นตัวกรองสาร สำหรับในเชิงของการเร่งปฏิกิริยา นั้นมีการใช้งานอย่างกว้างขวาง เนื่องจากมีความเสถียรต่ออุณหภูมิและความดันสูง พื้นที่ผิวสูง มี acid site สูงจึงเหมาะสมในการนำมาใช้เป็นตัวเร่ง [2, 3] เนื่องจากการที่มีพื้นที่ผิวสูงจึงมีการนำอะลูมินามาใช้ทั้งในรูปของการเป็นตัวเร่งทั้งโดยตรงและโดยการเป็นสารพยุง (support catalyst) โดยมีสเปซิสท์ที่ว่องไว (active species) อีก 1 เช่น V_2O_5/Al_2O_3 ในการเร่งปฏิกิริยา ออกซิเดชันกับอีเทน ไปเป็นอีทินและเอทีลีน ไปเป็นอะซิทัลสีไชด์ [4] เกิดออกซิเดชันกับ 4 – methylanisole ไปเป็น p – anisic และ p – anisaldehyde [5] และเกิดออกซิเดชันกับ dimethyl formamide (DMF) ไปเป็น N_2 และ CO_2 [6] Co/Al_2O_3 ใช้ในการเร่งปฏิกิริยา Fisher – Tropsch synthesis [7] Ag/Al_2O_3 ในปฏิกิริยาลดักชันสารประกอบจำพวกออกไซด์ของไนโตรเจน (NO_x) ซึ่งเป็นก้าชพิมที่เกิดขึ้นหลังการสันดาปของเชื้อเพลิงให้กลาญเป็น N_2 [8] MoO_3/Al_2O_3 ใช้ในการเร่งปฏิกิริยา Oxidative dehydrogenation ของอีเทน ไปเป็นอะซิทัลสีไชด์ [9] และ $Pt-Sn/Al_2O_3$ ในการเร่ง Hydrogenation ของ diethyl succinate ไปเป็น γ - butyrolactone [10] เป็นต้น

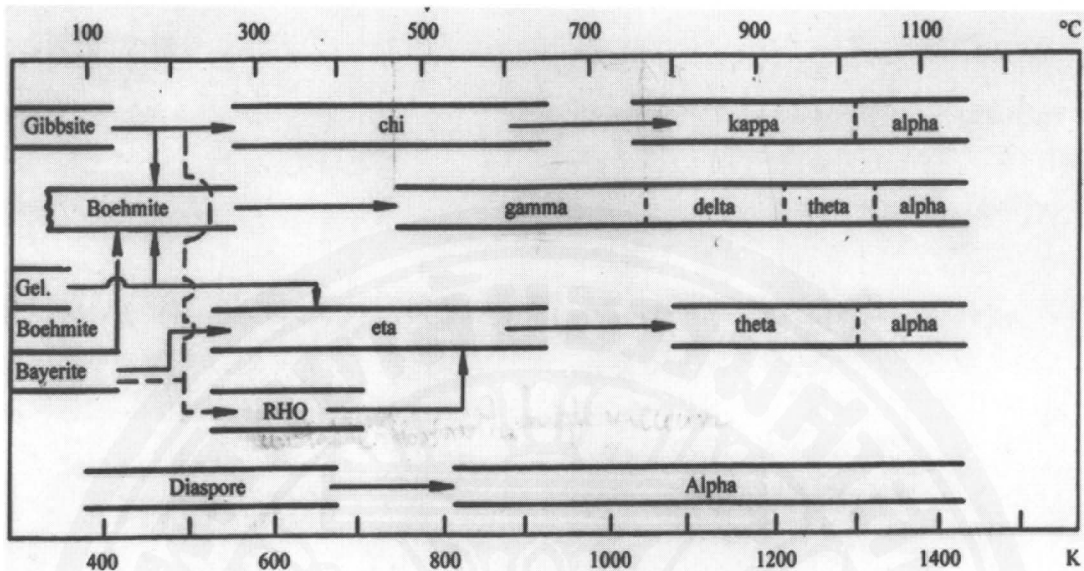
ในการเตรียมอะลูมินานั้น ได้จากการบวนการแคลไชแนชัน (Calcination) อะลูมินัมไครอโรกไชด์ (ได้แก่ กิบบ์ไซท์ เมชีโรท์ เจล หรือไดอะพอร์) หรืออะลูมินัมออกซิไไซโรกไชด์ (boehmite) จนกระทั่งได้เป็นแอลฟ่าอะลูมินที่มีความแข็งแกร่งสูงซึ่งใช้เป็นพัสดุในงานโลหะ หรือครัวน้ำ (Corundum) ในวงการอัญมณี ในระหว่างที่มีการเปลี่ยนสภาพจากอะลูมินัมไไซโรกไชด์ ($Al(OH)_3$ หรือ $Al_2O_3 \cdot 3H_2O$) หรืออะลูมินัมออกซิไไซโรกไชด์ ($AlOOH$ หรือ $Al_2O_3 \cdot H_2O$) ไปเป็นแอลฟ่าอะลูมินานั้นจะเกิดแทรนสิชันอะลูมินาขึ้นดังสมการ



แทรนสิชันอะลูมินาเกิดจากการจัดเรียงตัวของอะตอมของอะลูมินัมและอะตอมของออกซิเจนที่มีความไม่เสถียรมากนักขึ้นอยู่กับอุณหภูมิและสภาวะที่ใช้ในระหว่างการแคลไชน์ซึ่งความไม่เสถียรของโครงสร้างดังกล่าวทำให้แทรนสิชันอะลูมินามีคุณสมบัติต่าง ๆ ตามโครงสร้างหรือวัสดุภาคของมัน แทรนสิชันอะลูมินามีหลายวัสดุภาค (Phase) ดังนี้ ไค (Chi; χ) แคปปา (Kappa; κ) แคมมา (Gamma; γ) เดลต้า (Delta; δ) ทีตา (Theta; θ) อีตา (Eta; η) และโรห์ (Rho; ρ) ดังแสดงในรูปที่ 1 [3, 11 – 18]

สำหรับวัสดุภาคแคนนามานั้นมีคุณสมบัติเป็นทั้งกรดและเบสบรอนสเตด (Brønsted acids and bases) มีความพุ่นสูงและพื้นที่ผิวสูง (ประมาณ $50 – 375 m^2/g$) [3] จึงทำให้มีคุณสมบัติในการเป็นตัวเร่งปฏิกิริยาที่ดีอีกด้วย มีความเสถียรเชิงความร้อน และเชิงกลสูง จึงนิยมใช้เป็นตัวคูชับและตัวเร่งในอุตสาหกรรมปิโตรเคมี

งานวิจัยนี้ได้ทำการเตรียมแคนนามาอะลูมินาขึ้นโดยทำการเตรียมจากอะลูมินัมฟอยล์ (ซึ่งมีการใช้กันทั่วไปจนก่อให้เกิดปัญหาของจำนวนมาก) มาใช้เป็นสารตั้งต้นและอะลูมินัมในเตรียมเป็นตัวเร่งที่ขึ้นในการเตรียมแคนนามาอะลูมินาโดยทำการตกตะกอนอะลูมินัมให้ออยู่ในรูปของโบเช่เมท (Boehmite) ก่อนแล้วทำการแคลไชน์ให้อยู่ในรูปของแคนนามาอะลูมินา



รูปที่ 1 ลำดับการเปลี่ยนแปลงของอะลูมิเนียมไฮดรอกไซด์ตามอุณหภูมิ [13]

2. อุปกรณ์และวิธีการทดลอง

2.1 อุปกรณ์

1. X – ray diffractometer ยี่ห้อ Bruker รุ่น D8 Advance ทำการวัดแบบ step scanning of 0.02° for 8 seconds per point, 2θ ในการวิเคราะห์อยู่ในช่วง $10 - 110^\circ$, ความดันศักย์ 40 kV และกระแสไฟฟ้า 40 mA

2. BET method สามารถทำได้โดยใช้เครื่อง Autosorb ยี่ห้อ Quantachrome (Cross section area 16.2 $\text{Å}^2/\text{molecule}$ อุณหภูมิ 77.40 K)

3. เครื่องวัดค่า pH ยี่ห้อ Orion model 420A

4. เครื่องชั่งสาร Denver Instrument model TC – 205

5. เครื่อง恒温恒湿 ยี่ห้อ Centurion model K 60 series

2.2 สารเคมี

1. Aluminum nitrate ($\text{Al}(\text{NO}_3)_3 \cdot 9\text{H}_2\text{O}$, AR grade, 98.0%, Carlo Erba) ประกอบด้วย

คลอร์ด $\leq 0.001\%$ Pb $\leq 0.05\%$

ซัลเฟต $\leq 0.005\%$ Fe $\leq 0.002\%$

2. Aluminum foil (Al, Commercial grade, Diamond) องค์ประกอบโดยทั่วไป

Fe 0.5 – 1.5% Si 0.1 – 0.7%

Mn 0.02 – 1.5% Cu $\leq 0.2\%$

3. Ammonia solution (NH_3 , AR grade, 25%, Merck)

4. Nitric acid (HNO_3 , AR grade, 65%, Lab Scan)

5. Ethanol ($\text{CH}_3\text{CH}_2\text{OH}$, commercial grade, Italmar (Thailand) co., ltd.)

6. Acetone ($\text{CH}_3\text{C}(\text{O})\text{CH}_3$, commercial grade, Italmar (Thailand) co., ltd.)

2.3 การเตรียมแก่นมาอะลูมินา จากอะลูมิเนียม

ในเตรท

2.3.1 การทดสอบหา pH ที่เหมาะสมในการตัดตะกอนโนบเชิ่มท์

1. ปฏิเสธสารละลายน้ำ $\text{Al}(\text{NO}_3)_3$ เข้มข้น 1 M 25.00 cm^3 ใส่ลงในบิกเกอร์ขนาด 100 cm^3

2. หยด 10% NH_4OH ลงในสารละลายน้ำ 1 พร้อมคนจนกระทั้งเกิดตะกอน และสารละลามีค่า $\text{pH} 4.0 \pm 0.1$ นำตะกอนที่ได้ไปเข้าเครื่องหัวขึงเพื่อแยกสารละลายออกไปด้วยความเร็ว 3,000 รอบต่อนาที เป็นเวลา 2 นาที

3. นำตะกอนที่ได้อบแห้ง อุณหภูมิ 110°C
4. ทำงานข้อ 1 ถึง 3 แต่เปลี่ยนค่า pH เป็น 6 และ 8 ตามลำดับ

5. นำตะกอนที่ได้จากข้อ 4 มาทำการแคลไชน์ โดยเริ่มต้นที่อุณหภูมิห้องด้วยอัตราการเพิ่มอุณหภูมิ เป็น $0.80^\circ\text{C min}^{-1}$ จนกระทั่งอุณหภูมิ 250°C และให้คงที่ที่อุณหภูมนี้เป็นเวลา 3 ชั่วโมง จากนั้นทำการลดอุณหภูมิลงจนเหลืออุณหภูมิห้องด้วยอัตราการลดอุณหภูมิ เป็น $1.67^\circ\text{C min}^{-1}$

6.นำของแข็งที่ได้ไปวิเคราะห์ความเป็นผลึกของโบช์ไมท์โดยเทคนิค X – ray diffraction spectroscopy โดยทำการเปรียบเทียบกับ XRD pattern มาตรฐาน (reference XRD pattern)

2.3.2 การทดสอบหาอุณหภูมิที่เหมาะสม ใน การแคลไชน์แกมมาอะลูминินา

1. ปีเปตสารละลายน้ำ $\text{Al}(\text{NO}_3)_3$, เข้มข้น 1 M 25.00 cm^3 ใส่ลงในบีกเกอร์ขนาด 100 cm^3
2. หยด 10% NH_4OH ลงในสารละลายน้ำ 1 พร้อมคนจนกระทั้งเกิดตะกอน และสารละลามีค่า pH ที่เหมาะสมในการเตรียมโบช์ไมท์ ซึ่งได้จากการทดลองในข้อ 2.3.1 นำตะกอนที่ได้ไปเข้าเครื่องหัวขึงเพื่อแยกสารละลายออกไปด้วยความเร็ว 3,000 รอบต่อนาที เป็นเวลา 2 นาที

3. นำตะกอนที่ได้อบแห้ง อุณหภูมิ 110°C
4. นำตะกอนที่ได้จากข้อ 2 มาทำการแคลไชน์ โดยเริ่มต้นที่อุณหภูมิห้องด้วยอัตราการเพิ่มอุณหภูมิ เป็น $0.8^\circ\text{C min}^{-1}$ จนกระทั่งอุณหภูมิ 250°C และให้คงที่ที่

อุณหภูมนี้เป็นเวลา 3 ชั่วโมง จากนั้นเพิ่มอุณหภูมิในการแคลไชน์เป็น 500°C โดยคงที่ที่อุณหภูมนี้เป็นเวลา 6 ชั่วโมงและเปลี่ยนอัตราการเพิ่มอุณหภูมิเป็น $1.67^\circ\text{C min}^{-1}$

5. ทำงานข้อ 1 – 4 แต่เปลี่ยนอุณหภูมิในการแคลไชน์เป็น 600, 700, 800 และ 900°C ตามลำดับ

6.นำสารตัวอย่างที่ได้ไปวิเคราะห์ความเป็นผลึกของแกมมาอะลูминินาโดยเทคนิค X – ray diffraction spectroscopy โดยทำการเปรียบเทียบกับ XRD pattern มาตรฐาน (reference XRD pattern) และพื้นที่ผิวโดยเทคนิค BET โดยใช้ในไตรเจนเหลวเป็นตัวคูดซับอยู่บนพื้นผิวของแกมมาอะลูминินา

2.4 การเตรียมแกมมาอะลูминินา จากอะลูมินัมฟอยล์

1.นำอะลูมินัมฟอยล์ใช้แล้วมาทำการล้างด้วยน้ำเปล่า และผึ่งให้แห้ง จากนั้nl ล้างด้วย 95% เอทานอลและอะซีโตน และผึ่งให้แห้ง

2. ซั่งอะลูมินัมฟอยล์ 1.0 กรัม ใส่ลงในบีกเกอร์ขนาด 100 cm^3

3. ตวงสารละลายน้ำ HNO_3 เข้มข้น 2 M 65 cm^3 ใส่ลงในบีกเกอร์ในข้อ 2

4. ให้ความร้อนแก่สารในข้อ 3 จนกระทั่งยอดอะลูมินัมฟอยล์ล็งหมดและปริมาตรของสารละลายน้ำเหลือประมาณ 40 cm^3

5.กรองเอาตะกอนสิ่งสกปรกซึ่งเป็นตะกอนคล้ายเศษพลาสติกอันเนื่องมาจากแผ่นพิล์มพลาสติกที่เคลือบอะลูมินัมฟอยล์ตั้งแต่ตอนผลิตออก

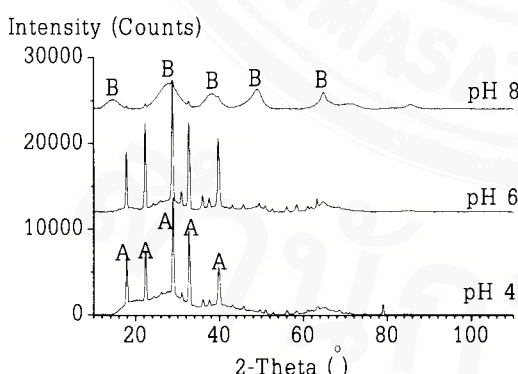
6. หยด 10% NH_4OH ลงในสารละลายน้ำในข้อ 5 พร้อมคนจนกระทั้งเกิดตะกอนและสารละลามีค่า pH ที่เหมาะสมในการเตรียมโบช์ไมท์ซึ่งได้จากการทดลองในข้อ 2.3.1 นำตะกอนที่ได้ไปเข้าเครื่องหัวขึงเพื่อแยกสารละลายออกไปด้วยความเร็ว 3,000 รอบต่อนาที เป็นเวลา 2 นาที

7. ทำการแคลไชน์ตามหัวข้อ 2.3.2

3. ผลการทดลองและวิจารณ์

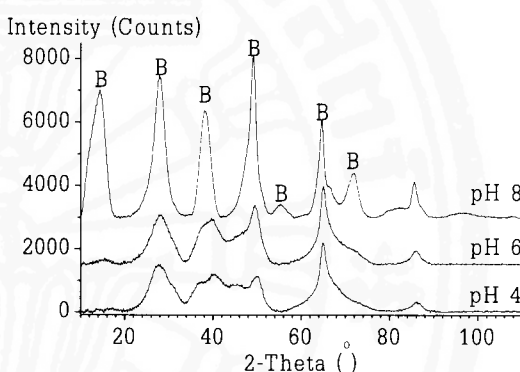
3.1 การทดลองหา pH ที่เหมาะสมในการตอกตะกอนโบช์ไม่

หลังจาก ทำการ ตอกตะกอนอะลูมินัม ไฮดรอกไซด์ แล้วนำไปวิเคราะห์ลักษณะผลึกโดยเทคนิค X – ray diffraction ดังแสดงในรูปที่ 2 เมื่อทำการเปรียบเทียบกับมาตรฐานของ Joint Committee on Powder Diffraction Standards (JCPDS) files พบร่วมกับ Powder Diffraction file (PDF) หมายเลข 01-0809 เป็นผลึกของ NH_4NO_3 ทึ้งน้ำออกเนื่องจากที่ pH ดังกล่าวเป็นสภาวะที่เกิดผลึก AlOOH ได้ไม่ดีอีกทั้งมี NO_3^- [จาก $\text{Al}(\text{NO}_3)_3$] ซึ่งเป็นสารตั้งต้น] และ NH_4^+ [จาก NH_4OH ซึ่งเป็นสารทำให้ตอกตะกอน] ซึ่งพร้อมที่จะรวมตัวกันเป็น NH_4NO_3 และเห็นเป็นพิกของ NH_4NO_3 บนพื้นของ AlOOH จนเห็นพิกของ AlOOH ได้ไม่ชัดเจน แต่ที่ pH 8 มีลักษณะผลึกตรงกับ Powder Diffraction file (PDF) หมายเลข 01-1283 เป็นผลึกของ AlOOH (Boehmite) และมีพิกของ NH_4NO_3 อยู่เพียงเล็กน้อย ซึ่งเป็นโครงสร้างผลึกที่สามารถนำไปสังเคราะห์แกมมาอะลูมินาต่อไปได้



รูปที่ 2 XRD patterns ของตะกอนอะลูมินัม ไฮดรอกไซด์ หลังตอกตะกอนที่ pH ต่าง ๆ ($A = \text{NH}_4\text{NO}_3$ และ $B = \text{AlOOH}$)

เนื่องจาก NH_4NO_3 ลายตัวที่อุณหภูมิ 210°C และรายงานวิจัยของ De Aguilar Cruz, A.M. และ J.G. Eon ในปี 1998 [18] พบว่าเมื่อเพิ่มอุณหภูมิจะทำให้ความเป็นผลึกของ AlOOH เพิ่มมากขึ้น ดังนั้นในการทดลองต่อไปจะเป็นการกำจัด NH_4NO_3 และเพิ่มความเป็นผลึกของ AlOOH ที่อุณหภูมิ 250°C แล้วนำไปวิเคราะห์ลักษณะของผลึกโดยเทคนิค X – ray diffraction พบว่าลักษณะความเป็นผลึกของ AlOOH จากการตอกตะกอนในสภาวะที่เป็นเบสอ่อนที่ pH 8 เพิ่มมากขึ้นดังแสดงในรูปที่ 3

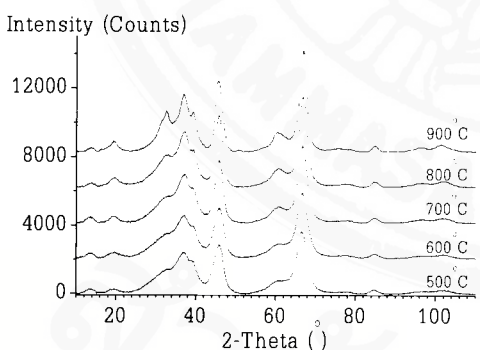


รูปที่ 3 XRD patterns ของ AlOOH จากการตอกตะกอนที่ pH ต่าง ๆ ($B = \text{AlOOH}$)

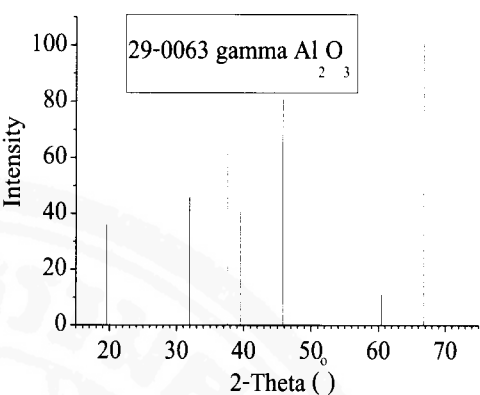
สำหรับกรณี XRD patterns ของสารที่เตรียมได้ที่ pH 4 และ 6 พบร่วมสารตัวอ่อนยังแสดงความเป็นผลึกของ โบช์ไม่ที่ได้เพียงเล็กน้อยหลังจากกำจัด NH_4NO_3 ออกไปจากข้อมูลดังกล่าวอาจสรุปได้ว่าสภาวะการให้ความร้อนที่ อุณหภูมิ 250°C และสภาวะการตอกตะกอนที่ pH 8 สามารถทำให้ NH_4NO_3 ลายตัวไปได้ และแสดงความเป็นผลึกของ โบช์ไม่ที่ดีซึ่งต่างจากการที่ตอกตะกอนที่ pH 4 และ 6 ถึงแม้จะให้ความร้อนที่อุณหภูมิ 250°C แล้วก็ตาม ดังนั้นสภาวะที่เหมาะสมในการเตรียมแกมน้ำอะลูมินา จึงเลือกตอกตะกอนที่ pH 8 และให้ความร้อนที่ 250°C สอดคล้องกับงานวิจัยที่เคยรายงานไว้โดยต้องเตรียมแกมน้ำอะลูมินาจากโบช์ไม่ที่ใน [11 – 15]

3.2 การวิเคราะห์โครงสร้างผลึกด้วยเทคนิค XRD

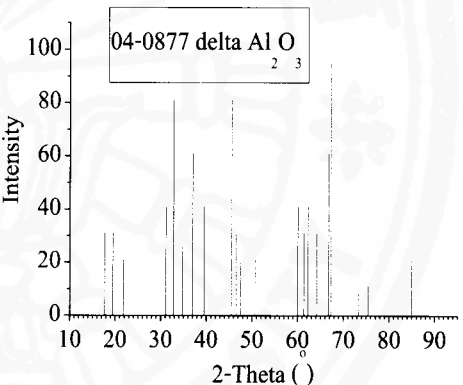
นำบอร์ไมท์ ที่เตรียมจาก อะลูมินัมไนเตրทามาทำการแคลไชน์ที่อุณหภูมิตั้งแต่ $500 - 900^{\circ}\text{C}$ และวิเคราะห์โครงสร้างผลึกด้วยเทคนิค X-ray diffraction จะได้ XRD patterns ดังแสดงในรูปที่ 4 ซึ่งเมื่อนำไปเทียบ JCPDS files พบว่า XRD patterns สองคล้องกันแน่นอน อะลูมินา (JCPDS files 29-0063) ดังแสดงในรูปที่ 5 และ เดลต้าอะลูมินา (JCPDS files 04-0877) ดังแสดงในรูปที่ 6 จากรูปที่ 5 และ 6 เห็นว่า XRD patterns ของทั้ง 2 แบบมีความคล้ายคลึงกันมากแต่มีความแตกต่างกันตรงบริเวณของ 2-Theta ในช่วง $31-32^{\circ}$ และช่วง $60 - 64^{\circ}$ พีกของเดลต้าอะลูมินาจะให้ความเข้มมากกว่าแกนมาอะลูมินา ซึ่งลักษณะของพีกใน 2 ช่วงนี้จะเริ่มปรากฏในช่วงของการแคลไชน์ที่อุณหภูมิ 800°C และ ความเข้มที่สูงขึ้นจนเห็นได้อย่างชัดเจนที่ 900°C นั่นคือที่ อุณหภูมิ $800 - 900^{\circ}\text{C}$ จะมีลักษณะของวัสดุแกนมาและเดลต้าสมกันอยู่ในช่วงที่ $500 - 700^{\circ}\text{C}$ นั่น มีลักษณะของแกนมาเพียงอย่างเดียว



รูปที่ 4 XRD patterns ของแกนมาอะลูมินาและเดลต้าอะลูมินาที่ได้จากการแคลไชน์ที่อุณหภูมิต่าง ๆ โดยใช้สารตั้งต้นเป็น $\text{Al}(\text{NO}_3)_3$

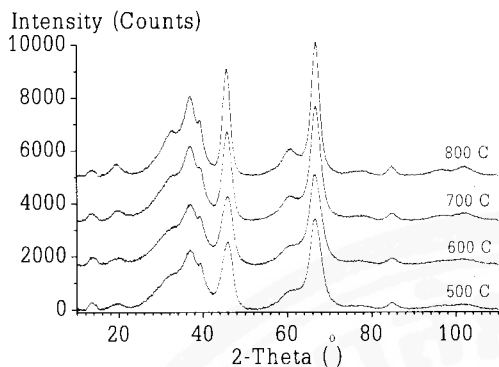


รูปที่ 5 XRD pattern มาตรฐานของแกนมา อะลูมินา



รูปที่ 6 XRD pattern มาตรฐานของเดลต้าอะลูมินา

เนื่องจากงานวิจัยนี้ ต้องการเตรียมแกนมาอะลูมินาดังนั้นในการเตรียมแกนมาอะลูมินาจากอะลูมินัมฟอยล์จะต้องการแคลไชน์ที่อุณหภูมิ 900°C ออก



รูปที่ 7 XRD patterns ของแกรมมาอะลูมินาและเคลติอะลูมิที่ได้จากการแคลไชน์ที่อุณหภูมิต่าง ๆ โดยใช้สารตั้งต้นเป็นอะลูมินัมฟอยล์

สำหรับแกรมมาอะลูมินาที่เตรียมจากอะลูมินัมฟอยล์เมื่อแคลไชน์ที่อุณหภูมิตั้งแต่ $500 - 800^{\circ}\text{C}$ ได้ผลจากการวิเคราะห์ด้วยเทคนิค X-ray diffraction ได้ผลตามรูปที่ 7 ซึ่งให้ผลเช่นเดียวกันกับการเตรียมแกรมมาอะลูมินาจากอะลูมินัมในเตรท คือ ที่อุณหภูมิ $500 - 700^{\circ}\text{C}$ ได้แกรมมาอะลูมินา สำหรับ 800°C ได้วัյจักรผสานระหว่างแกรมมาอะลูมินาและเคลติอะลูมินา

3.3 การวิเคราะห์พื้นที่ผิวของแกรมมาอะลูมินา

ด้วยเทคนิค BET

เมื่อนำแกรมมาอะลูมินามาวิเคราะห์การคัดซับเชิงพิสิกส์พบว่าแกรมมาอะลูมินาที่ได้จากการแคลไชน์ทุกอุณหภูมิมี Hysteresis loop อันเนื่องมาจากการประกายการณ์ capillary condensation เกิดขึ้นทุกอุณหภูมิ (รูปที่ 8) แสดงว่าแกรมมาอะลูมินาที่เตรียมขึ้นนานนี้มีรูพรุนเกิดขึ้น จากพื้นที่ผิวนาม BET ดังตารางที่ 1 เห็นได้อย่างชัดเจนว่าเมื่ออุณหภูมิเพิ่มขึ้น พื้นที่ผิวจะลดลงทั้งแกรมมาอะลูมินาที่เตรียมได้จากอะลูมินัมในเตรทและอะลูมินัมฟอยล์ทั้งนี้เนื่องจากเกิดการหลอมรวมตัวเข้าหากันของแกรมมาอะลูมินาจนทำให้พื้นที่ผิวลดลงแต่มีสังเกตแนวโน้มในการลดลงของพื้นที่ผิวนามอุณหภูมิตามรูปที่ 7 พบว่าแกรมมาอะลูมินาที่เตรียมจากอะลูมินัมในเตรทมีอัตราการลดลงของพื้นที่ผิว

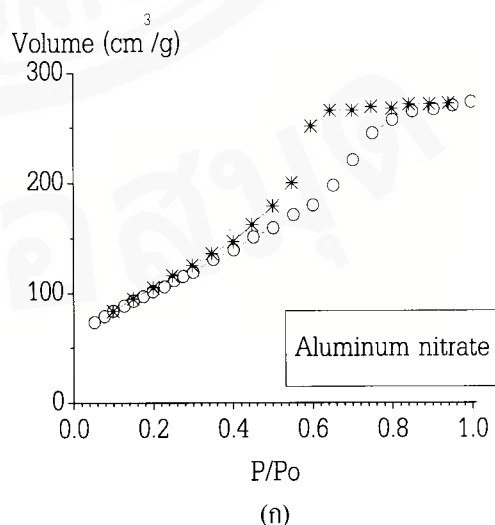
ที่รวดเร็วกว่าแกรมมาอะลูมินาที่เตรียมจากอะลูมินัมฟอยล์นั่นคือ แกรมมาอะลูมินาที่เตรียมจากอะลูมินัมฟอยล์ อันเนื่องมาจากการตั้งต้น (ดูในข้อที่ 2.2) ก่อให้ก่ออะลูมินัมในเตรทมีปริมาณโลหะหนัก ($\text{Fe} \leq 0.002\%$ และ $\text{Pb} \leq 0.05\%$) ในปริมาณที่น้อยกว่าอะลูมินัมฟอยล์ ($\text{Fe} 0.5 - 1.5\%$, $\text{Si} 0.1 - 0.7\%$, $\text{Mn} 0.02 - 1.5\%$ และ $\text{Cu} \leq 0.2\%$) ซึ่งโลหะหนักเหล่านี้อาจจะช่วยขับขึ้นการเติบโตของเกรน (Grain growth inhibition) [19] ของแกรมมาอะลูมินามีอุณหภูมิสูงขึ้น จึงทำให้แกรมมาอะลูมินาที่เตรียมจากอะลูมินัมฟอยล์ มีการลดลงของพื้นที่ผิวเมื่อได้รับความร้อนน้อยกว่าแกรมมาอะลูมินาที่เตรียมจากอะลูมินัมในเตรท

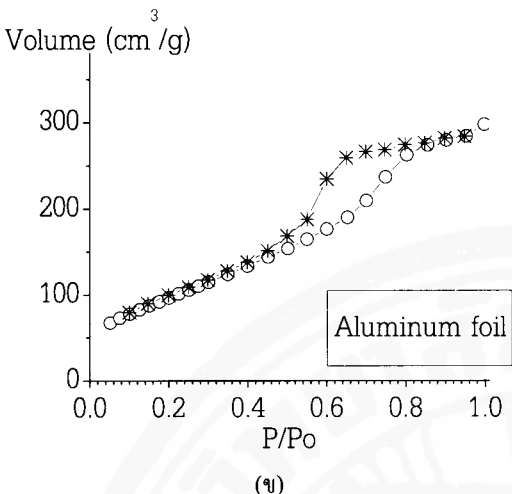
ตารางที่ 1 พื้นที่ผิวของแกรมมาอะลูมินา

อุณหภูมิ ($^{\circ}\text{C}$)	พื้นที่ผิวนาม BET (m^2/g)	อะลูมินาที่ได้จากการตั้งต้นแต่ละชนิด
---------------------------------	---	--------------------------------------

อะลูมินัมในเตรท อะลูมินัมฟอยล์

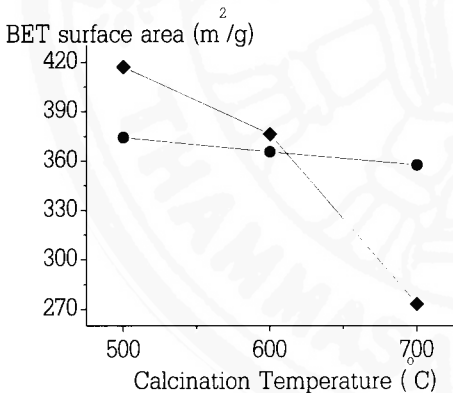
500	417.1	374.3
600	376.2	365.5
700	273.1	357.4





รูปที่ 8 Adsorption – Desorption isotherm plots ของแกมน้ำอะลูมินาจากการเตรียมที่อุณหภูมิ 600°C (ก) เตรียมจากอะลูมินัมฟอยล์ในเตรทและ (ข) เตรียมจากอะลูมินัมฟอยล์

(-O- Adsorption และ -* - Desorption)



รูปที่ 9 พื้นที่ผิวน้ำ BET ของแกมน้ำอะลูมินาที่เตรียมจากอะลูมินัมฟอยล์ (◆) และอะลูมินัมฟอยล์ (●)

4. สรุปผลการทดลอง

โน๊ซีไม่สามารถลดต่ำกว่า pH 8 แต่ถ้า pH ต่ำกว่านี้จะได้ NH_4NO_3 ผสมอยู่ในปริมาณมาก เนื่องจากเป็น pH ที่เหมาะสมในการ

ลดต่ำกว่า NH_4NO_3 และเมื่อเพิ่มอุณหภูมิไปเป็น 250°C ความเป็นผลึกของโน๊ซีไม่เพิ่มมากขึ้น

แกมน้ำอะลูมินาเกิดขึ้นที่อุณหภูมิ $500 - 700^{\circ}\text{C}$ ถ้าอุณหภูมิสูงกว่านี้จะเริ่มเปลี่ยนวัสดุเป็นเคลตตาอะลูมินาแทน

แกมน้ำอะลูมินาที่เตรียมได้จากอะลูมินัมฟอยล์มีการลดลงของพื้นที่ผิวน้ำสูงกว่าแกมน้ำอะลูมินาที่เตรียมจากอะลูมินัมในเตรทเมื่ออุณหภูมิสูงขึ้นทั้งนี้อาจเนื่องมาจากการละหันกที่ป่นอยู่ในอะลูมินัมฟอยล์ในบริเวณที่มากกว่าอะลูมินัมในเตรท ซึ่งเป็นตัวบันยั้งการหลอมรวมตัวของเม็ดกรานในแกมน้ำอะลูมินาจนพื้นที่ผิวน้ำลดลงเพียงเล็กน้อยเมื่ออุณหภูมิเพิ่มขึ้น

5. กิตติกรรมประกาศ

ขอขอบคุณทุนวิจัยserim หลักสูตรมหาวิทยาลัยธรรมศาสตร์ พ.ศ. 2547 ที่ให้ทุนสนับสนุนการวิจัยในครั้งนี้ ขอขอบคุณ อ.ยิ่งยศ อินฟ้าแสงภาควิชาฟิสิกส์ คณะวิทยาศาสตร์และเทคโนโลยี มหาวิทยาลัยธรรมศาสตร์ สุนีย์รังสิต ที่ให้ความช่วยเหลือทางด้านเทคนิค X-ray diffraction และนางสาวกชพรรณ นราเวรุณ ผู้ช่วยวิจัย

6. เอกสารอ้างอิง

- [1] L.P. Cook, Phase Equilibria of Alumina, pp. 49 – 71, In L.D. Hart (Ed.), Alumina Chemicals: Science and Technology Handbook, The American Ceramic Society, Inc., United State of America, 1990.
- [2] L.H. Baumgardner, World Production and Economics of Alumina Chemicals, pp. 7 – 9, In L.D. Hart (Ed.), Alumina Chemicals: Science and Technology Handbook, The American Ceramic Society, Inc., United State of America, 1990.
- [3] I. Chorkendorff and J.W. Niemantsverdriet, Concepts of Modern Catalysis and Kinetics, 1st ed.,

- Wiley – VCH GmbH & Co. KgaA, the Federal of Germany, 192 – 193 p., 2003.
- [4] F.Klose, T. Wolff, H. Lorenz, A. Seidel – Morgenstern, Y. Suchorski, M. Piorkowska and H. Weiss, Active Species on γ - Alumina – Supported Vanadia Catalysts: Nature and Reducibility, Journal of Catalysis, 247, 176 – 193, 2007.
- [5] B.M.Reddy, K.N. Rao, G.K. Reddy and P. Bharali, Characterization and Catalytic Activity of V_2O_5/Al_2O_3 – TiO_2 for Selective Oxidation of 4 – Methylanisole, Journal of Molecular Catalysis A: Chemical, 253, 44 – 51, 2006.
- [6] M.O. Guerrero – Perez, J. Janas, T. Machej, J. Haber, A.E. Lewandowska J.L.G. Fierro and M.A. Banares, Selective Destruction of Nitrogen – Containing Organic Volatile Compounds over Sb – V – O Catalysts, Applied Catalysis B: Environmental, 71, 85 – 93, 2007.
- [7] J. Zhang, J. Chen, J. Ren and Y. Sun, Chemical Treatment of γ - Al_2O_3 and Its Influence on The Properties of Co – based Catalysts for Fisher – Tropsch synthesis, Applied Catalysis A: General, 243, 121 – 133, 2003.
- [8] M. Richter, U. Bentrup, R. Eckelt, M. Schneider, M. -M. Pohl and R. Fricke, The Effect of Hydrogen on The Selective Catalytic Reduction of NO in Excess Oxygen over Ag/Al_2O_3 , Applied Catalysis B: Environmental, 51, 261 – 274, 2004.
- [9] E. Heracleous, A.A. Lemonidou and J.A. Lercher, Mechanistic Features of The Ethane Oxidative Dehydrogenation by in situ FTIR Spectroscopy over a MoO_3/Al_2O_3 Catalyst, Applied Catalysis A: General, 264, 73 – 80, 2004.
- [10] S.H. Vaidya, C.V. Rode and R.V. Chaudhari, Bitallic Pt – Sn/ γ - Alumina Catalyst for Highly Selective Liquid Phase Hydrogenation of Diethyl Succinate to γ - Butyrolactone, Catalysis Communications, 8, 340 – 344, 2007.
- [11] K. Wefers, Nomenclature, Preparation and Properties of Aluminum Oxides, Oxide Hydroxides and Trihydroxides, pp. 13 – 22, In L.D. Hart (Ed.), Alumina Chemicals: Science and Technology Handbook, The American Ceramic Society, Inc., United State of America, 1990.
- [12] X. Krokidis, P. Raybaud, A.-E. Gobichon, B. Rebours, P. Euzen and H. Toulhoat, Theoretical Study of The Dehydration Process of Boehmite to γ - Alumina, J. Phys. Chem. B, 105, 5121 – 5130, 2001.
- [13] P.S. Santos, H.S. Santos and S.P. Toledo, Standard Transition Aluminas: Electron Microscopy Studies, Material Research, 3, 104 – 114, 2000.
- [14] M.L. Guzman – Castillo, X. Bokhimi, A. Toledo – Antoio, J. Salmones – Blasquez and Hernandez – Beltran, Effect of boehmite Crystallite Size and Streaminh on Alumina Properties, J. Phys. Chem. B, 105, 2099 – 2106, 2001.
- [15] Z. Zhang, R.W. Hicks, T.R. Pauly and T.J. Pinnavaia, Mesostructured Forms of γ - Al_2O_3 , J. Am. Chem. Soc., 124, 1592 – 1593, 2002.
- [16] X. Wang, G. Lu, Y. Wang and Y. Guo, Preparation of High Thermal – Stabile Alumina by Reverse Microemulsion Method, Materials Chemistry and Physics, 90, 225 – 229, 2005.
- [17] M.A. Trunov, M. Schoenitz, X. Zhu and E.L. Dreizin, Effect of Polymorphic Phase Transformations in Al_2O_3 Film on Oxidation

- Kinetics of Aluminum Powders, Combustion and Flames, 140, 310 – 318, 2005.
- [18] A.M. de Aguilar Cruz and J.G. Eon, Boehmite – Supported Vanadium Oxide Catalysts, Applied Catalysis A: General, 167, 203 – 213, 1998.
- [19] B. Bloch, B.G. Ravi and R. Chaim, Stabilization of Transition Alumina and Grain Growth Inhibition in Ultrafine Al_2O_3 – 5wt. % SrO Alloy, Materials Letters, 42, 61–65, 2000.